

(105)

## 連続鋳造における溶鋼温度変化について

富士製鉄 堺鋳造所 恵藤文二

○菅原英明

鈴木功夫

I. 緒言 連続鋳造における溶鋼温度は造塊の注入作業の場合よりも圧倒的に重要な要素である。造塊よりも処理時間の長い連鉄では注入中に温度低下を生じやすくこのためタンデッシュ/ズル閉塞の事故が生じる事がある。このような事故を防ぐため連続鋳造での温度変化について調査し、温度降下防止対策について検討した。

II. 溶鋼温度変化 表1に鋼種毎の温度変化について示した。表から $\Delta T_1$ は鋳槽ヒュート差が認められるか、 $\Delta T_2$ はあまり差がない事がわかる。

III. 溶鋼温度変化の内容 温度降下の要因として $\Delta T_1$ では ①測温後溶鋼までの炉内での低下( $T_L$ ) ②溶鋼中の低下( $T_T$ )、③合金鉄、加炭剤による低下( $T_M$ ) ④脱酸反応による発熱( $T_O$ )、⑤取鍋での伝導放熱( $T_S$ )を考えられる。これらの要因の計算値、実測値は次のようになつてゐる。

(1).  $T_M$  鋳種毎の  $T_{eMn}$ 、加炭剤による理論的な温度低下は低炭素鋼でモードあたり  $FeMn 150 kg$ 、加炭剤  $40 kg$  で  $11^\circ C$ 、中炭素鋼ではモードあたり  $110 kg$ 、 $53 kg$  で  $11^\circ C$ 、高炭素鋼では  $100 kg$ 、 $47 kg$  で  $24^\circ C$  となる。

(2).  $T_O$   $Si$ による反応  $9_{1400} + \frac{1}{2} Si(w)_{1900} \rightarrow 9_{1900} + \frac{1}{2} O_2(g)_{1900} - 81250 \text{ cal/g-atm}$  により  $2.5^\circ C / 100 \text{ ppm}$  となる。これを  $[C] \cdot [O] = 27 \times 10^{-4} (\%)^2$  を使用すれば図1の実線で示される。実測値から推定した値を実線で示したが、低C側では平衡値より下回っている。

(3).  $T_L + T_T$  出鍋前測温から出鍋終了までの時間と  $\Delta T_1 - (T_M + T_O)$  の関係を図2に示す。図から炉内および出鍋中の温度低下は  $2.3^\circ C / \text{min}$  と考えられる。

(4).  $T_S$  以上のべた要因を除く外のもののが取鍋での伝導放熱分を考えると、図2の時間Oで示される温度低下部分が伝導分となる。

$\Delta T_1$ を要因別に表2にまとめた。表2の合計は表1の $\Delta T_1$ とほぼ対応する。

$\Delta T_2$ についてはタンデッシュ注入による温度降下と鍋での伝導放熱が考えられる。タンデッシュ注入による温度低下は注入前の取鍋温度測定値から約  $30^\circ C$  と推定される。したがって取鍋での伝導による温度低下は約  $50^\circ C$  となる。

IV. 溶鋼温度低下防止について 以上のことからこの温度低下は鍋での伝導放熱によるものがあまり大きな原因である。このことから温度低下を防ぐには鍋の焼瓦温度を上げる事が有効な手段である。当工場では鍋回転による鍋の使用規制、鍋の予熱強化により出鍋温度を約  $20^\circ C$  低下させ、又注入中の温度低下による事故を減らせる事が出来た。

V. おまけ 連続鋳造での溶鋼温度変化について検討し、その結果温度降下には取鍋での伝導放熱が最も大きく影響する事がわかった。温度降下防止対策として鍋の使用規制、鍋の予熱強化により出鍋温度を原来より  $20^\circ C$  低下させ、又注入中の温度低下による事故を減らせる事が出来た。

表1 鋼種別温度変化

鋼種	$\Delta T_1^\circ C$	$\Delta T_2^\circ C$	$\Delta T_3^\circ C$
低炭素鋼	53	82	135
中炭素鋼	54	77	141
高炭素鋼	88	83	171

$\Delta T_1$ : 出鍋温度 - 取鍋温度  
 $\Delta T_2$ : 取鍋温度 - T.O.平均温度  
 $\Delta T_3$ :  $\Delta T_1 + \Delta T_2$

表2.  $\Delta T_1$ の内容

要因	低炭素鋼	中炭素鋼	高炭素鋼
$T_M$	$11^\circ C$	$11^\circ C$	$25^\circ C$
$T_O$	-17	-5	0
$T_L + T_T$	.8	21	25
$T_S$	34	34	34
合計	46	60	83

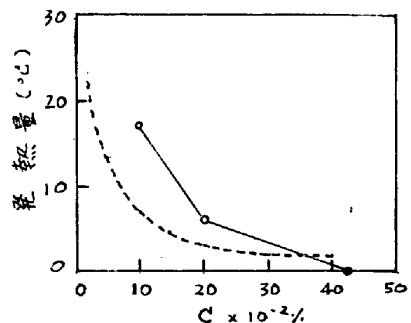


図1. 吹入Cと発熱量

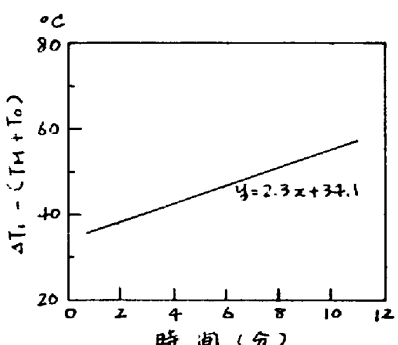


図2. 測温から出鍋終了までの時間と温度降下